

بررسی اثرات خدباکتریایی و ارزیابی هیستوپاتولوژیکی و ماکروسکوپی اثر عصاره زانتوپارمilia لینتولا بر روی التیام زخم در مدل حیوانی خرگوش

طاهره ولدبیگی

استادیار زیست‌شناسی، دانشکده علوم پایه، دانشگاه ایلام

آدرس مکاتبه: ایلام، خیابان پژوهش، دانشگاه ایلام، دانشکده علوم پایه، صندوق پستی: ۵۱۶ - ۶۹۳۱۵

کد پستی: ۶۹۳۹۱-۷۷۱۱۱

تلفن: ۰۹۱۲۶۰۹۲۱۹۷

پست الکترونیک: tvaladbeigi@yahoo.com

تاریخ تصویب: ۹۴/۱۱/۲۴

تاریخ دریافت: ۹۴/۳/۲۲

چکیده

مقدمه: گلشنگ‌ها ارگانیسم‌های همزیست بین یک مایکروبیونت (فارچ) و یک فایکوبیونت (جلبک سبز فتواتوتروف و یا سیانوباكتری) هستند. تأثیر برخی ترکیبات مختلف زیستی گلشنگ‌ها بر علیه ویروس‌ها، باکتری‌ها، انگل‌ها و خواص ضدتومور و التهاب آنها شناخته شده است.

هدف: در این مطالعه اثر عصاره تال زانتوپارمilia لینتولا بر روند ترمیم زخم در پوست خرگوش بررسی می‌شود.

روش بررسی: گونه زانتوپارمilia لینتولا از منطقه زیراب استان مازندران جمع‌آوری و کروماتوگرافی لایه نازک انجام شد. سپس عصاره متابولی آن با استفاده از سوکسله تهیه شد. پس از ایجاد زخم، خرگوش‌ها در چهار گروه تقسیم شدند: گروه کنترل، تحت درمان با پماد آلفا، تحت درمان با پماد ۵ درصد عصاره زانتوپارمilia لینتولا و تحت درمان با پماد ۱۰ درصد عصاره زانتوپارمilia لینتولا. سپس درمان تا بهبود کامل زخم ادامه یافت. برای مطالعات هیستوپاتولوژی، نمونه‌های بافتی خرگوش بیست روز پس از جراحی از محل زخم‌های ترمیم شده اخذ شد.

نتایج: عصاره متابولی زانتوپارمilia لینتولا مساحت زخم را در گروه کنترل به طور در خور توجهی کاهش داد. وجود ترکیبات اوزنیک اسید، پروتوستاریک اسید، و سالازینیک اسید اثبات شد.

نتیجه گیری: عصاره متابولی زانتوپارمilia لینتولا به دلیل داشتن خاصیت ضدالتهابی، ضدمیکروبی و آنتی‌اکسیدانی روند ترمیم زخم پوستی را تسريع کرده و مدت زمان لازم برای بهبودی کامل زخم را کاهش می‌دهد.

گل واژگان: زانتوپارمilia لینتولا، خرگوش، عصاره، هیستوپاتولوژیکی



مقدمه

برگی و بوتهای می باشند [۵].

همانند اغلب گیاهان، گلشنگ‌ها از دوران باستان به عنوان داروهای طبیعی استفاده می‌شوند. گلشنگ‌ها و بعضی ارگانیسم‌های دریابی از منابع مهم ترکیبات بیولوژیکی فعال هستند [۶]. به طور کلی و به جز موارد محدود [۷، ۸]، در زمینه اثرات دارویی گلشنگ‌های بومی ایران و بویژه خواص ترمیمی زخم گونه مورد مطالعه در دنیا کار مؤثری انجام نشده است. امید است با این تحقیق زمینه مناسبی جهت پژوهش در این راستا فراهم آید.

مواد و روش‌ها

جمع‌آوری نمونه و عصاره‌گیری

گونه گلشنگ زانتپارملیا لینتولا (*Xanthoparmelia lineola*) در اوایل مهرماه ۱۳۹۰ از منطقه زیراب سوادکوه واقع در استان مازندران جمع‌آوری شد. نمونه‌ها پس از جمع‌آوری به آزمایشگاه منتقل شدند. سپس چند بار با آب مقطر شستشو و در سایه خشک شدند. پس از خشک شدن، نمونه در هاون چینی خرد و از پودر حاصله (هزار گرم) جهت انجام مراحل بعدی آزمایش استفاده شد. بر طبق مطالعات ولدبیگی و همکاران عصاره متابولی در مقایسه با عصاره آبی و استونی دارای بیشترین خواص دارویی است [۷]. به همین دلیل در این تحقیق از عصاره متابولی استفاده شد. عصاره‌گیری با استفاده از سوکسله (Soxhle) انجام شد [۹]. عصاره‌گیری در سوکسله تا زمانی که داخل ستون آن بی‌رنگ شود (یعنی فقط حلال وجود داشته باشد) ادامه یافت. سپس محلول حاصله در دمای ۴۰ درجه سانتی‌گراد در آون خشک شد [۹].

کروماتوگرافی لایه نازک

کروماتوگرافی لایه نازک در سه سیستم حلال A شامل بنزن: دی‌اگزان: استیک اسید (با نسبت ۴: ۲۵: ۹۰)، حلال B شامل هگزان: اتیل اتر: فرمیک اسید (با نسبت ۱: ۴: ۵) و حلال C شامل تولوئن: استیک اسید (با نسبت ۱۵: ۸۵) انجام گرفت. باندها با استفاده از سولفوریک اسید ۱۰ درصد و گرما به مدت ده

گلشنگ از اجتماع حداقل یک جلبک سبز یا سیانوباکتر (فایکوبیونت) و یک قارچ (مایکوبیونت) به وجود آمده است [۱]. گونه‌های قارچ همزیست در گلشنگ مربوط به رده آسکومیست‌ها (Ascomycetes) و اغلب جلبک‌های (Chlorococcales) همzیست متعلق به جلبک‌های سبز (Chlorococcales) می‌باشد [۲]. هیف‌های قارچی این موجودات در پاسخ به عوامل محیطی متفاوت در عرصه انتشار خود، متابولیت‌های ثانویه‌ی مختلفی تولید می‌کنند. این ترکیبات خارج سلولی در آب نامحلول بوده با وزن مولکولی نسبتاً پایینی که دارند فقط در حلال‌های آلی حل می‌شوند [۳]. وظایفی که برای این گونه ترکیبات پیشنهاد می‌شود عبارتند از: ۱) محافظت در برابر پرتوهای مضر توسط مواد غشایی مانند پاریتین. ۲) محافظت در برابر تغذیه (توسط حشرات) با تولید ترکیبات تلخ مزه. ۳) برتری‌های رقابتی در برابر باکتری‌ها یا قارچ‌های دیگر از طریق تولید آنتی‌بیوتیک‌ها یا مواد ضدقارچی. ۴) سازش به نوسانات آب و هوایی و هوازدگی سنگ‌ها. ۵) بهبود تبادلات گازی به دلیل وجود ترکیبات هیدروفوبیک و تأثیر بر نفوذپذیری دیوارهای سلولی و حفظ تعادل همzیستی. بعلاوه بسیاری از متابولیت‌های گلشنگی (مانند ترپن‌ها، دی‌بنزوفران‌ها، دی‌بنزوپیرانون‌ها، دی‌پسیدون‌ها و آنتراکوئینون‌ها) دارای فعالیت‌های زیستی آنتی‌مايكوباكتریالی، آنتی‌ویروسی، آنتی‌اکسیدانی، مسكنی و سیتو توکسیکی هستند. برخی (مانند گرانتون‌ها) نیز به عنوان بازدارنده آنزیمی و فتوسیستمی عمل می‌کنند [۴].

خانواده Parmeliaceae با ۲۰۰۰ گونه و ۸۷ جنس یکی از خانواده‌های بزرگ گلشنگی محسوب می‌شود. مهم‌ترین جنس‌های این خانواده شامل *Xanthoparmelia* (با حدود ۸۰۰ گونه در دنیا)، *Usnea* (با حدود ۵۰۰ گونه در دنیا)، *Parmotrema* (با حدود ۳۵۰ گونه در دنیا)، *Hypotrachyna* (با حدود ۱۹۰ گونه در دنیا) می‌باشد. تقریباً همه اعضای این خانواده دارای جلبک سبز (اغلب *Asterochloris* spp. و گاهی *Trebuxia* spp.) هستند. همچنین اغلب گونه‌های این خانواده به صورت گلشنگ‌های



نسبت وزنی، ۰/۵ گرم عصاره خشک با ۴ گرم پماد آلفا مخلوط شد. جهت تهیه پماد ۱۰ درصد به نسبت وزنی ۱ گرم عصاره خشک با ۹ گرم پماد آلفا مخلوط شد [۱۶].

نحوه ایجاد زخم

در این مطالعه از ۲۰ سر خرگوش نر نیوزلندي (۴ گروه ۵ تایی) با وزن ۲ - ۱/۳ کیلوگرم استفاده شد. لازم به ذکر است خرگوش‌ها از لحاظ سن مشابه بودند و در دمای ۲۲ درجه و دوره روشناهی و تاریکی ۱۲:۱۲ ساعت نگهداری شدند. آنها با سبزیجات تازه، هویج و آب لوله‌کشی شهر بدون محدودیت تغذیه شدند. خرگوش‌ها با استفاده از داروی بی‌هوشی دی‌کلرواتان ۵ درصد (مرک) بی‌هوش شدند. محل ایجاد زخم، پهلوی حیوان نزدیک ستون فقرات در نظر گرفته شد. سپس موهای ناحیه مورد نظر با استفاده از قیچی کوتاه و در نهايیت با تیغ جراحی به طور کامل تراشیده شد. به اين ترتیب که زخمی به طول ۵ سانتی‌متر و به عمق ضخامت پوست خرگوش ایجاد شد. بالافاصله پس از ایجاد زخم، محل مورد نظر با سرم فیزیولوژی شستشو داده شد. روز جراحی نیز روز صفر در نظر گرفته شد [۱۷، ۱۸]. خرگوش‌ها پس از ایجاد زخم به طور تصادفی به چهار گروه ذيل تقسیم شدند:

۱- گروه A: کنترل

۲- گروه B: تحت درمان با پماد آلفا (پماد آلفا یا رژودرم یک ترمیم کننده طبیعی است که تاثیر بی‌نظیری در درمان انواع زخم‌ها و آسیب‌های پوست دارد)

۳- گروه C: تحت درمان با پماد ۵ درصد تهیه شده از عصاره زانتوپارمilia لیثولا

۴- گروه D: تحت درمان با پماد ۱۰ درصد تهیه شده از عصاره زانتوپارمilia لیثولا

قبل از تجویز هر دارو، روزانه از زخم‌ها با دوربین دیجیتال عکسبرداری شد. برای محاسبه مساحت زخم جهت بررسی مورفومنتریک از نرم افزار آنالیز تصاویر فرایند التیام زخم (Motic Images ۲۰۰۱,۲) استفاده شد. درصد بهبودی زخم محاسبه شد [۱۶].

دقیقه در ۱۱۰ درجه سانتی‌گراد و همچنین نور فرابنفش (۲۵۴nm) آشکار شدند [۱۰]. از آترانورین و نورستیک تیک اسید به عنوان کنترل و از زانتوپارمilia لیثولا (با ترکیبات مشخص) که از هرباریوم برلین تهیه شد به عنوان کروماتوگرافی همراه (Co-chromatography) استفاده شد.

سویه‌های میکروبی

(PTCC1039) استاندارد میکروبی Staphylococcus aureus، Escherichia coli، Bacillus cereus (PTCC1885)، Klebsiella pneumonia (PTCC1609)، (ATCC6633)، Pesudomonas aeruginosa (PTCC1047) و Staphylococcus epidemidis (PTCC2405) از سازمان پژوهش‌های علمی و صنعتی ایران تهیه شد. سوسپانسیون نیم مک فارلندي (10^8 cfu/ml) از باکتری‌ها بر روی محیط کشت مانیتول سالت آگار به صورت خطی کشت داده شدند. سپس به مدت ۲۴ ساعت در دمای ۳۷ درجه سانتی‌گراد در انکوباتور قرار گرفتند [۱۱، ۱۲].

بررسی خواص ضدمیکروبی

باکتری‌ها روی محیط کشت نوترینت آگار کشت شدند. سپس با استفاده از DMSO (دی‌متیل سولفوکساید ۱۰ درصد)، رقت‌های ۶۳، ۱۲۵، ۲۵۰، ۵۰۰ و ۱۰۰۰ میلی‌گرم بر میلی‌لیتر عصاره متابولی زانتوپارمilia لیثولا تهیه شد. دیسک‌های کاغذی بلازک ۶ میلی‌متری (تهیه شده از شرکت رکین) برای رقت‌های مختلف استفاده شد. از دیسک‌های آنتی‌بیوتیک جنتامايسین با غلظت ۱۰ میکروگرم بر میلی‌لیتر به عنوان کنترل مثبت استفاده شد. سپس محیط‌های کشت باکتری‌ها به مدت ۱۶ ساعت در دمای ۳۷ درجه سانتی‌گراد نگهداری شد. قطر هاله عدم رشد اندازه‌گیری شد. مقدار MIC و MBC با استفاده از پلیت‌های ۹۶ خانه‌ای و روش میکرودیلوشن طبق دستورالعمل CLSI تعیین شد. همه مراحل با سه بار تکرار انجام گرفت [۱۳، ۱۴، ۱۵].

تهیه پماد

جهت تهیه پماد ۵ درصد از عصاره زانتوپارمilia لیثولا به

مطالعات آسیب‌شناسی بافتی

میلی‌گرم بر میلی‌لیتر اثر کشنندگی داشت. همچنین بر روی باکتری انتروکوکوس فکالیس اثری ضدبacterیایی مشاهده نشد (جدول شماره ۲).

بر طبق نمودار شماره ۱ در گروه کنترل به تدریج از وسعت سطح زخم کاسته شد اما این روند آهسته بود، به طوری که زخم در روز نوزدهم به طور کامل درمان نشد (وسعت زخم در روز نوزدهم ۰/۳۱ متر مربع) (جدول شماره ۳، شکل ۱-A). در گروه B وسعت سطح زخم در روزهای پنجم تا هفتم روند افزایشی و در روزهای بعدی روند کاهشی داشت (وسعت زخم در روز نوزدهم ۰/۴۱ متر مربع) (شکل ۱-B). در گروه C روند بهبود نسبت به گروه کنترل و گروه دوم (B) به طور معنی‌داری کاهش یافته (وسعت زخم در روز نوزدهم ۰/۴۷ متر مربع) (تصویر C-1) (جدول شماره ۲). در گروه D روند ترمیم زخم نسبت به همه گروه‌ها سریع‌تر رخ داد، به طوری که در روز هفدهم درصد بهبودی زخم ۹۷ درصد و در روز نوزدهم ۱۰۰ درصد بود (جدول شماره ۲). نتایج حاصله نشان می‌دهد که با افزایش غلظت عصاره، جمع‌شدگی و ترمیم زخم به طور قابل توجهی افزایش می‌یابد به طوریکه در گروه تحت درمان با پماد ۱۰ درصد افزایش معنی‌داری ($P < 0/01$) در سرعت التیام و جمع‌شدگی نسبت به گروه‌های کنترل نشان داده می‌شود.

متغیرهای آسیب‌شناسی بافتی از جمله تشکیل بافت گرانوله، میزان ترمیم ناحیه درم، میزان اپی‌تلیزاسیون و آماس بافتی و درصد سلول‌های التهابی (ماست سل، اوزینوفیل و نوتروفیل) بین گروه‌های کنترل و گروه‌های تیمار شده با عصاره تفاوت معنی‌داری داشتند (جدول شماره ۴). به طور کلی عصاره متانولی موجب کاهش تعداد سلول‌های نوتروفیل و ماست سل و افزایش تعداد سلول‌های اوزینوفیل به طور معنی‌داری می‌گردد. همچنین تأثیر عصاره بر کاهش شدت التهاب و افزایش تشکیل بافت گرانوله، ترمیم بافت درم و اپی‌تلیزاسیون نسبت به گروه کنترل از نظر آماری معنی‌دار است (جدول شماره ۴).

در روز بیستم که زخم تقریباً بسته و جمع شده بود، پس از ایجاد یک زخم به صورتی که قبلاً گفته شد، یک نمونه بافتی از محل مورد نظر به ابعاد 25×25 میلی‌متر با اسکالپل برداشته شد. نمونه بافتی با سرم فیزیولوژیک شستشو و سپس درون فرمالین ۱۰ درصد به عنوان تثیت کنند غوطه‌ور شد. سپس از نمونه‌ها مقاطع بافتی تهیه شد. مقاطع بافتی با هماتوكسیلین-اوزین رنگ‌آمیزی شدند. در بررسی‌های آسیب‌شناسی بافتی پارامترهایی مانند آماس بافتی، میزان اپی‌تلیزاسیون، تشکیل بافت گرانوله و میزان ترمیم ناحیه درم و همچنین درصد سلول‌های ماست سل، اوزینوفیل و نوتروفیل تعیین شد.

تجزیه و تحلیل آماری داده‌ها

مقایسه میانگین قطر هاله‌ها و بررسی قدرت ضدبکریوبی عصاره‌ها با استفاده از نرمافزار SPSS ۱۱/۵ انجام گرفت. از آزمون مقابیسه میانگین چند جامعه (تحلیل واریانس) با فاصله اطمینان ۹۹ درصد استفاده شد. سپس از آزمون‌های پس از تجربه (Post Hoc) (دانکن (Duncan)) استفاده شد. جهت توصیف متغیرها از آمار توصیفی مانند میانگین و انحراف معیار استفاده شد.

نتایج

با استفاده از کروماتوگرافی لایه نازک وجود ترکیبات اوزنیک اسید، پروتوستاریک اسید و سالازینیک اسید (Salazinic acid) اثبات شد.

میانگین قطر هاله‌های عدم رشد حاصل از تأثیر غلظت‌های ۱۲۵ تا ۱۰۰۰ میلی‌گرم بر میلی‌لیتر عصاره متانولی زانتوپارمilia لینئولا بر روی باکتری‌های مورد مطالعه نشان داد که عصاره متانولی زانتوپارمilia لینئولا بیشترین اثر را بر علیه استافیلوکوکوس اپیدرمیس (با قطر هاله $29/08$ میلی‌متر) داشت و بر روی اشريشيا کلی اثری نداشت (جدول شماره ۱). عصاره در غلظت ۲۵۰ میلی‌گرم بر میلی‌لیتر اثر باکتری‌سدا (کشنندگی) بر روی باکتری استافیلوکوکوس ارئوس و در غلظت ۱۰۰۰

جدول شماره ۱ - میانگین قطر هاله عدم رشد (میلی متر) و انحراف معیار حاصل از تأثیر عصاره زانتوپار ملیا لینشولا بر باکتری های مورد بررسی

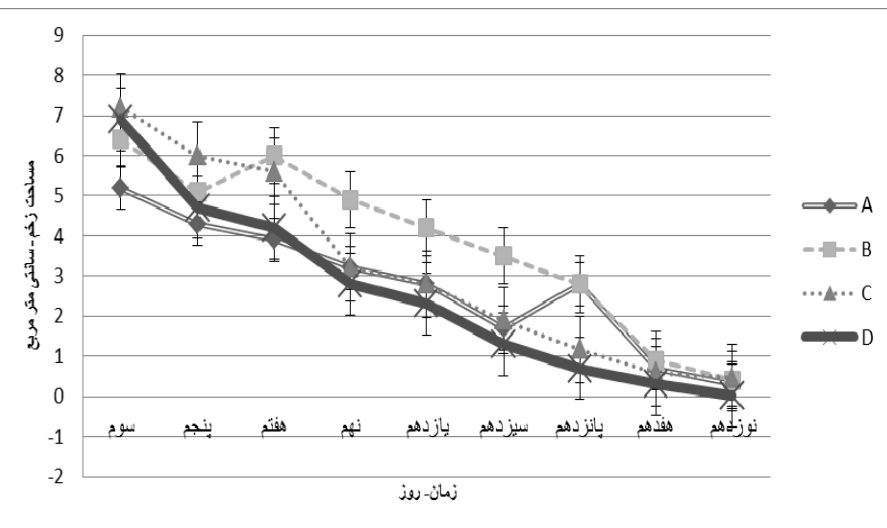
باکتری	*غلظت عصاره	۱۰۰	۵۰۰	۲۵۰	۱۲۵
<i>P. aeruginase</i>	۲۰/۹±۰/۰۲	۱۶/۱±۰/۲۲	۱۲/۱۲±۰/۲۵	۹/۰۸±۰/۱۶	۲۴/۲۲±۰/۱۱
<i>K. pneumonia</i>	۶±۰	۶±۰	۶±۰	۶±۰	۱۲/۰۹±۰/۰۲
<i>E. coli</i>	۲۹/۰۸±۰/۰۶	۲۳/۰۸±۰/۰۶	۱۵/۰۹±۰/۱۱	۱۰/۰۱±۰/۱۲	۲۵/۶۱±۰/۱۰
<i>S. epidemidis</i>	۱۹/۹۴±۰/۱۱	۱۶/۰۲±۰/۱۶	۱۱/۹۸±۰/۱۳	۱۰/۰۱±۰/۲۶	۲۱/۷۱±۰/۲۰
<i>S. aureus</i>					۱۹/۹۴±۰/۱۱
<i>B. cereus</i>					

* میلی گرم بر میلی متر

جدول شماره ۲ - مقدار MIC و MBC (میلی گرم بر میلی لیتر) عصاره زانتوپار ملیا لینشولا بر علیه باکتری های مورد بررسی

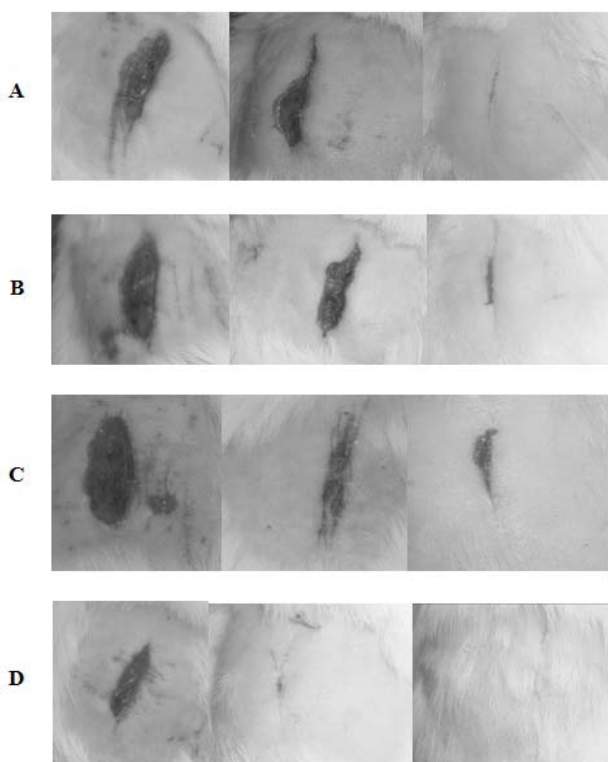
MBC	MIC	باکتری
۲۵۰	۱۲۵	<i>S. aureus</i>
۵۰۰	۵۰۰	<i>B. cereus</i>
۵۰۰	۵۰۰	<i>K. pneumonia</i>
n	n	<i>E. coli</i>
۵۰۰	۵۰۰	<i>S. epidemidis</i>
۱۰۰۰	۱۰۰۰	<i>P. aeruginase</i>

: فاقد اثر عصاره روی باکتری



نمودار شماره ۱ - روند بهبود زخم در روزهای سوم تا نوزدهم در گروه های کنترل (A)، تحت درمان با پماد آلفا (B)، تحت درمان با پماد ۵ درصد عصاره زانتوپار ملیا لینشولا (C) و تحت درمان با پماد ۱۰ درصد عصاره زانتوپار ملیا لینشولا (D)





شکل شماره ۱ - وضعیت التیام زخم در روزهای پانزدهم، هفدهم و نوزدهم (به ترتیب از چپ به راست) در گروه کنترل (A)، تحت درمان با پماد آلفا (D)، تحت درمان با پماد ۵ درصد عصاره متانولی زانتوپارملیا لینتولا (C) و تحت درمان با پماد ۱۰ درصد عصاره متانولی زانتوپارملیا لینتولا (B).

جدول شماره ۳ - درصد بھبودی در روزهای پنجم تا نوزدهم گروه کنترل (A)، تحت درمان با پماد آلفا (B)، تحت درمان با پماد ۵ درصد (C) و تحت درمان با پماد ۱۰ درصد عصاره زانتوپارملیا لینتولا (D)

نوزدهم (درصد)	هددهم (درصد)	پانزدهم (درصد)	سیزدهم (درصد)	یازدهم (درصد)	نهم (درصد)	هفتم (درصد)	پنجم (درصد)	سوم (درصد)	روز گروه	روز گروه
۹۸	۸۵	۸۰	۷۵	۶۲	۵۸	۵۶	۵۳	۳۵	A	A
۹۴	۸۰	۷۰	۶۵	۵۳	۳۸	۲۲	۲۰	۳۸	B	B
۸۷	۸۴	۷۹	۷۱	۶۲	۵۷	۴۱	۳۸	۳۰	C	C
۱۰۰	۹۷	۹۰	۸۴	۷۰	۶۲	۵۱	۴۵	۳۳	D	D

جدول شماره ۴ - مقایسه یافته‌های بافت‌شناسی در گروه‌های کنترل (A)، تحت درمان با پماد آلفا (B)، تحت درمان با پماد ۵ درصد عصاره زانتوپارملیا لینتولا (C) و تحت درمان با پماد ۱۰ درصد عصاره زانتوپارملیا لینتولا (D). اختلاف معنی دار بین گروه‌های A و B با *a*, *b* و *c* با *d*, *e* و *f* نشان داده شده است.

نوتروفیل (درصد)	انوزینوفیل (درصد)	ماست سل (درصد)	آماس بافتی	میزان اپی‌تلیزاویون	میزان ترمیم ناحیه درم	تشکیل بافت	تعداد گرانوله	گروه‌ها
<i>g</i> ۳۷±۰/۰۲	<i>f</i> ۲۲±۰/۱۲	<i>e</i> ۴۵±۰/۴۱	<i>d</i> ۲/۹۸±۰/۱۴	<i>c</i> ۱±۰/۱۰	<i>b</i> ۱/۰۹±۰/۱۱	<i>a</i> ۱		A
۲۸±۰/۱۱	۳۵±۰/۰۹	۴۰±۰/۰۹	۲±۰/۲۱	۲±۰/۰۴	۱/۷۳±۰/۹۱		۱/۷۰±۰/۸۰	B
<i>g</i> ۲۹±۰/۰۱	<i>f</i> ۳۱±۰/۰۵	۴۰±۰/۰۲	<i>d</i> ۱/۹۰±۰/۱۴	۱/۷±۰/۰۹	<i>b</i> ۲±۰/۰۱	<i>a</i> ۲/۰۱±۰/۲۳		C
<i>g</i> ۲۴±۰/۸۰	<i>f</i> ۳۵±۰/۰۸۶	<i>e</i> ۴۲±۰/۱۹	<i>d</i> ۱/۲۰±۰/۶۱	<i>c</i> ۲/۳±۰/۷۸	<i>b</i> ۲/۷۰±۰/۶۱	<i>a</i> ۲/۶۰±۰/۶۱		D

بحث

(*Ramalina subbreviscula* و *Lobartia pulmonia*) اثبات شده است، پس این مواد می‌توانند مسئول خواص دارویی گونه مورد نظر باشند [۲۶، ۲۷]. هر چند که نقش ترکیبات مذکور در گونه مورد مطالعه باید به طور جداگانه در تحقیقات آتی بررسی شود.

از طرفی طبق مطالعات بول و همکاران تعديل مرحله التهاب (در زمان ایجاد زخم، فعالیت ماکروفائزها سبب التهاب موضع زخمی می‌شود) باعث تسريع التیام زخم می‌شود. از آنجا که عصاره این گونه دارای ماده مؤثره اوزنیک اسید می‌باشد که خاصیت ضدالتهابی داشته [۲۸] و کاهش التهاب از عوامل مؤثر در تسريع ترمیم زخم می‌باشد [۲۹]، می‌توان استنباط نمود که عصاره زانتوپارمlia لینئولا به دلیل دارا بودن مواد ضدالتهابی باعث تسريع ترمیم زخم می‌شود. از طرفی در فرایند التهاب، سلول‌هایی مثل نوتروفیل‌ها و ماکروفائزها آزاد می‌شوند که این سلول‌ها مقادیر زیادی رادیکال‌های آزاد اکسیژن تولید می‌کنند. رادیکال‌های آزاد اکسیژن در تنظیم متابولیسم زخم نقش دارند. غلظت بالای رادیکال آزاد اکسیژن باعث آسیب زدن به بافت‌ها یا مرگ سلول‌های اطراف زخم و طولانی‌تر شدن زمان التیام زخم می‌شود [۱۸، ۲۸]. از آنجایی که عصاره این گونه گلشنگ دارای مواد آنتی‌اکسیدانی (اوزنیک اسید) می‌باشد [۱۰، ۱۴، ۲۵]، یکی از دلایل بهبود زخم‌های پوستی تحت درمان با عصاره این نمونه، می‌تواند به دلیل خواص آنتی‌اکسیدانی آن باشد. با این حال روشن شدن دقیق‌تر مکانیسم‌های گفته شده نیاز به مطالعات تکمیلی *Parmelia* بیشتری دارد. همچنین در برخی از گونه‌های *Parmelia celastri*، *Flavocetraria nivalis* و *Teloschistes chrysophthalmus* استخراج شده است خواص ضدمیکروبی و ترمیم زخمی قابل توجهی را سبب می‌شود [۲۶]. از طرفی چون تال زانتوپارمlia لینئولا دارای سه ترکیب اوزنیک اسید، پروتوفستاریک اسید، و سالازینیک اسید در عصاره متانولی می‌باشد و خواص ضدمیکروبی و ترمیم زخمی این ترکیبات در برخی از گونه‌های خانواده *P. saxatilis*، *Parmelia sulcata*، *Parmeliaceae* (بویژه

نتیجه‌گیری

با توجه به یافته‌های بافت‌شناسی این پژوهش، عصاره متانولی زانتوپارمlia لینئولا روند ترمیم زخم پوستی را تسريع



زانتوپارمilia لیتوللا که بر ترمیم زخم اثر دارد در مطالعات آتی
باید بررسی شود.

کرده و مدت زمان لازم برای بهبودی کامل زخم را کاهش
می دهد. مکانیسم اثر و نقش هرکدام از سه ترکیب اوزنیک
اسید، پروتوستاریک اسید و سالازینیک اسید در تال

منابع

1. Srinivasreddy B, Kiran Kumar Reddy R, Modhusudhana K, Agwane SB, Ramakrishna S, Diwan PV. Evaluation of antimicrobial, antioxidant and wound-healing potentials of healing potentials of *Holoptelea integrifolia*. *J. Ethnopharmacol.* 2007; 115 (2): 249 - 56.
2. Temina M, Levitsky DO, Dembitsky VM. Chemical constituents of the epiphytic and lithophilic lichens of the genus *Collema*. *Rec. Nat. Prod.* 2010; 4 (1): 79 - 86.
3. Rankovic B, Kosanic M. Screening of antimicrobial activity of some lichen species in vitro. *Kragujevac. J. Sci.* 2007; 32: 65 - 72.
4. Abdur R, Abdul L, Sumbul R, Afaq SH. Study on extracts of *Parmelia perlata* Ach. for its antimicrobial against certain microorganisms. *Int. Res. J. Pharm.* 2013; 4 (11): 101 - 106.
5. Crespo A, Lumbsch HT, Mattsson JE, Blanco O, Divakar PK, Articus K, Wiklund E, Bawingan PA, Wedin M. Testing morphology-based hypotheses of phylogenetic relationships in Parmeliaceae (Ascomycota) using three ribosomal markers and the nuclear RPB1 gene. *Mol. Phylogenet. Evol.* 2007; 44 (2): 812 - 24.
6. Candan M, Yilmaz M, Tay T, Erden M, Türk AÖ. Antimicrobial activity of extracts of the lichen *Parmelia sulcata* and its salazinic acid constituent. *Z. Naturforsch.* 2007; 62: 619 - 21.
7. Valadbeigi T, Moradi H. An investigation of antibacterial effect of methanol and acetone extracts in some lichens in Ilam. *B. J. M.* 2013; 2 (5): 43 - 50.
8. Valadbeigi T, Rashki S. Wound healing activity of methanolic extract of *Protoparmeliopsis muralis* on wound infected with *Staphylococcus aureus* in wistar rat. *B. J. M.* 2014; 3 (10): 65 - 74.
9. Kosanic M, Rankovic B. Screening of antimicrobial activity of some lichen species in vitro. *Kragujevac. J. Sci.* 2010; 32: 65 - 72.
10. Bucar F, Schneider I, Ogmundsdottir H, Ingolfsdottir K. Antiproliferative lichen compounds with inhibitory activity on 12 (S)-HETE production in human platelets. *Phytomed.* 2004; 11: 602- 606.
11. Manoj GS and Murugan K. Wound healing activity of methanolic and aqueous extracts of *Plagiochila beddomei* Steph. thallus in rat model. *Indian. J. Exp. Biol.* 2012; 50 (8): 551 - 558.
12. Nayake BS, Lexley M, Pinto P. *Catharanthus roseus* flower extract has wound-healing activity in sprague dawley rats. *BMC Complement. Altern. Med.* 2006; 6 (41): 1 - 6.
13. Choi MJ, Yohannes SB, Lee SJ, Damte D, Reza MA, Rhee MH, Kim TH and Park SC. The in vitro antibacterial activity of enrofloxacin-trimethoprim combination against five bacterial species. *Pak. Vet. J.* 2012; 32 (3): 363 - 366.
14. Candan M, Yilmaz M, Tay T and Kivanc M. Antimicrobial activity of extracts of the lichen *Xanthoparmelia pokornyi* and its gyrophoric and stenosporic acid constituents. *Z. Naturforsch.* 2006; 61c: 319 - 323.
15. William KJ. The effect of topically applied zinc on the wound healing in open wound. *J. Surg. Res.* 1979; 27 (3): 62 - 97.
16. Isler H, Bauen A, Hubler M and Oberholzer M. Morphometric assessment of wound healing in rats treated with a protein-free haemodialysate.



Burns. 1991; 17 (2): 99 - 103.

17. Bing Li, Davidson JM and Guelcher SA. The effect of the local delivery of platelet-derived growth factor from reactive two-component polyurethane scaffolds on the healing in rat skin excisional wounds. *Biomaterials* 2009; 30 (20): 3486 - 94.

18. Randhir R, Lin YT and Shetty K. Stimulation of phenolics, antioxidant and antimicrobial activities in dark germinated mung bean sprouts in response to peptide and phytochemical elicitors. *Process. Biochem.* 2004; 39 (5): 637 - 46.

19. De Paz GA, Raggio J, Gómez-Serranillos MP, Palomino OM, González-Burgos E, Carretero ME and Crespo A. HPLC isolation of antioxidant constituents from *Xanthoparmelia* spp. *J. Pharm. Biomed. Anal.* 2010; 53: 165 - 171.

20. Molnar K and Farkas E. Current results on biological activities of lichen secondary metabolites: A review. *Z. Naturforsch. C.* 2010; 65: 157 - 173.

21. Turk AO, Yilmaz M, Kivanc M and Turk H. The antimicrobial activity of extracts of the lichen *Cetraria aculeata* and its protolichesterinic acid constituent. *Z. Naturforsch.* 2003; 58c: 850 - 854.

22. Gupta N and Jain UK. Investigation of wound healing activity of methanolic extract of stem bark

of *Mimusops elengi* Linn. *Afr. J. Tradit. Complement. Altern. Med.* 2011; 8 (2): 98 - 103.

23. Radika S. Development of treated bandage using lichen extract for wound healing. *Int. J. Latest. Res. Sci. Tech.* 2013; 2 (2): 163 - 166.

24. Boustie J and Grube M. Lichens- a promising source of bioactive secondary metabolites. *Plant. Genet. Resour.* 2005; 3 (2): 273 - 287.

25. Ranković B, Rankovic D and Maric D. Antioxidant and antimicrobial activity of some lichen species. *Microbiol.* 2010; 79 (6): 809 - 15.

26. Ingólfssdottir K. Usnic acid. *Phytochem.* 2002; 61 (7): 729 - 73.

27. Melgarejo M, Sterner O, Castro JV and Mollinedo P. More investigations in potent activity and relationship structure of the lichen antibiotic (+)-usnic acid its derivate dibenzoyl usnic acid. *Rev. Boliv. Quím.* 2008; 25 (1): 24 - 9.

28. Bvl NN, Mckenzie AL, Westi M and Whitney JD. Low-dose ultrasound effects on wound healing- A controlled study with yucalan pigs. *Arch. Phys. Med. Rehabil.* 1992; 73 (2): 658 - 664.

29. Cansaran D and Kabya D. Identification and quantitation of usnic acid from the lichen *Usnea* species of anatolia and antimicrobial activity. *Z. Naturforsch. C.* 2006; 61: 773 - 6.

